

УДК 546.42'654'631'682

Ю.О. Тітов ^a, Н.М. Білявина ^a, М.С. Слободянік ^a, В.В. Чумак ^b, О.І. Наконечна ^a**ВПЛИВ СКЛАДУ НА БУДОВУ ШАРУВАТОЇ СТРУКТУРИ $\text{SrNdSc}_{1-x}\text{In}_x\text{O}_4$** ^a Київський національний університет імені Тараса Шевченка^b Житомирський державний університет імені Івана Франка

Методами рентгенівської порошкової дифракції встановлено, що атоми Скандію у шаруватій перовськітоподібній структурі скандату SrNdScO_4 заміщаються за типом $\text{SrNdSc}_{1-x}\text{In}_x\text{O}_4$ за умови $0 \leq x \leq 0,85$. При більших ($x > 0,85$) ступенях ізовалентного заміщення атомів Скандію на атоми Індію в одношарових скандатоіндах $\text{SrNdSc}_{1-x}\text{In}_x\text{O}_4$ починається руйнування шаруватої структури з утворенням другої фази зі структурою типу CaFe_2O_4 , кількісний вміст якої зростає майже до 100% при $x=1$. Методом Рітвельда визначена орторомбічна (просторова група Pbca) кристалічна структура фаз складу $\text{SrNdSc}_{1-x}\text{In}_x\text{O}_4$ зі ступенями заміщення атомів Скандію, рівними 0,25, 0,5 та 0,7. Основою шаруватої перовськітоподібної структури фаз $\text{SrNdSc}_{1-x}\text{In}_x\text{O}_4$ є двовимірні перовськітоподібні блоки, які складаються з одного шару сполучених лише вершинами деформованих октаедрів $(\text{Sc},\text{In})\text{O}_6$. Прямі зв'язки $(\text{Sc},\text{In})-\text{O}-(\text{Sc},\text{In})$ між октаедрами суміжних блоків відсутні. Поміж сусідніми блоками розташований шар поліедрів $(\text{Sr},\text{Nd})\text{O}_9$, а з'єднання перовськітоподібних блоків між собою здійснюється за допомогою $-\text{O}2-(\text{Sr},\text{Nd})-\text{O}2-$ міжблочних зв'язків. Співставлення особливостей будови скандату SrNdScO_4 та фаз $\text{SrNdSc}_{1-x}\text{In}_x\text{O}_4$ показало, що ізовалентне заміщення атомів Скандію на більші за розміром атоми Індію в одношаровій структурі $\text{SrNdSc}_{1-x}\text{In}_x\text{O}_4$ приводить до послідовного збільшення ступеня деформації міжблочних поліедрів $(\text{Sr},\text{Nd})\text{O}_9$, середньої відстані $(\text{Sc},\text{In})-\text{O}$ в октаедрах $(\text{Sc},\text{In})\text{O}_6$ та їх нахилу один до одного, а також до суттєвого зростання довжини міжблочного зв'язку $(\text{Sr},\text{Nd})-\text{O}2$ (з 0,226(1) нм при $x=0$ до 0,238(1) нм при $x=0,3-0,7$). Збільшення відстані між перовськітоподібними блоками послаблює міцність їх зв'язування між собою, а при зростанні ступеня деформації міжблочних поліедрів $(\text{Sr},\text{Nd})\text{O}_9$ та нахилу сусідніх октаедрів $(\text{Sc},\text{In})\text{O}_6$ один до одного збільшується напруженість структури. Сумарна дія цих факторів приводить до дестабілізації і руйнування шаруватої перовськітоподібної структури і зумовлює як обмеженість розмірів діапазону твердих розчинів $\text{SrNdSc}_{1-x}\text{In}_x\text{O}_4$ з шаруватою перовськітоподібною структурою ($0 \leq x \leq 0,85$), так і неможливість утворення та існування індувату SrNdInO_4 з цим типом структури.

Ключові слова: сполуки типу $\text{A}_{n+1}\text{B}_n\text{O}_{3n+1}$, шарувата перовськітоподібна структура, рентгенівська порошкова дифрактометрія, ізоморфізм, тверді розчини.

DOI: 10.32434/0321-4095-2019-124-3-53-58

Вступ

Сполуки типу $\text{A}_{n+1}\text{B}_n\text{O}_{3n+1}$ із шаруватою перовськітоподібною структурою (ШПС) викликають значний інтерес, зумовлений наявністю у них цінних фізико-хімічних властивостей, серед яких: оптичні, іонообмінні, провідні та перспективою їх застосування в якості твердих електролітів та сенсорів вологості [1–9]. Значна частина властивостей оксидних сполук обумовле-

на особливостями будови їх кристалічної структури, причому кращими функціональними параметрами володіють, як правило, сполуки з деформованою структурою.

Одним із шляхів впливу на будову і відповідно на структурно залежні властивості оксидних сполук є ізоморфні заміщення атомів. Взаємозв'язки склад–будова для сполук $\text{SrLnB}^{\text{III}}\text{O}_4$ із одношаровою ($n=1$) ШПС досліджено у ви-

падку заміщення атомів А-позиції ШПС ($\text{Sr}_{1-x}\text{Ca}_x\text{LaInO}_4$ [10] та $\text{SrLa}_{1-x}\text{Nd}_x\text{InO}_4$ [11]). Враховуючи, що основою ШПС є оксигенооктаедричний каркас атомів типу В, безсумнівний інтерес становить визначення впливу заміщення атомів типу В на будову ШПС $\text{SrLnB}^{\text{III}}\text{O}_4$, зокрема виявлення кристалохімічних факторів, які обумовлюють меншу протяжність ШПС в ряду індатів SrLnInO_4 ($\text{Ln}=\text{La}-\text{Pr}$) [12] порівняно зі скандатами SrLnScO_4 ($\text{Ln}=\text{La}-\text{Eu}$) [13].

Мета даної роботи – встановлення характеру впливу ізовалентного заміщення атомів скандію на будову одношарової ШПС фаз складу $\text{SrNdSc}_{1-x}\text{In}_x\text{O}_4$.

Методика експерименту

Синтез $\text{SrNdSc}_{1-x}\text{In}_x\text{O}_4$ проводився шляхом сумісної кристалізації (випаровування при інтенсивному перемішуванні) суміші водних розчинів нітратів Sr, Nd, Sc та In зі співвідношенням $\text{Sr:Nd:Sc:In}=1:1:(1-x):x$, з наступним термообробленням одержаного продукту на газовому пальнику для видалення основної маси оксидів азоту. Отриману таким способом шихту перетирали, пресували у вигляді дисков і піддавали багатоступеневій термообробці при 1570 К до досягнення незмінного фазового складу. Як вихідні у роботі використано водні розчини нітратів Sr, Nd, Sc та In кваліфікації «х.ч.».

Рентгенівські дифракційні спектри полікристалічних зразків отримано на дифрактометрі Shimadzu XRD-6000 в дискретному режимі (крок сканування $0,02^\circ$, експозиція в точці 7 с, інтервал кутів $2\theta=18-82^\circ$) на мідному фільтрованому (дуговий графітовий монохроматор перед лічильником) CuK_α випромінюванні. Кристалічна структура одержаних зразків визначена методом Рітвельда. Первинна обробка дифракційних спектрів та структурні розрахунки виконано з використанням апаратно-програмного комплексу, як описано в роботі [14].

Результати та їх обговорення

Дифрактограми фаз $\text{SrNdSc}_{1-x}\text{In}_x\text{O}_4$ з ШПС подібні дифрактограмам відомих одношарових індатів SrLnInO_4 ($\text{Ln}=\text{La}, \text{Pr}$) [12]. Їх індексування показало належність ШПС $\text{SrNdSc}_{1-x}\text{In}_x\text{O}_4$ до ромбічної сингонії, а систематика погасань відбиттів (присутні відбиття: hkl – будь які, $0kl$ з $k=2n$, $h0l$ з $l=2n$, $hk0$ з $h=2n$, $h00$, $0k0$, $00l$ з $h,k,l=2n$) відповідає центросиметричній просторовій групі Pbca . Результати аналізу фазового складу зразків і залежності об'ємів елементарних комірок фаз $\text{SrNdSc}_{1-x}\text{In}_x\text{O}_4$ з ШПС від складу (рис. 1,а) показали, що область існування фаз з ШПС в системі $\text{SrNdSc}_{1-x}\text{In}_x\text{O}_4$ становить

$0 \leq x \leq 0,85$. При подальшому зростанні ступеня заміщення атомів Скандію відбувається поступове руйнування ШПС з утворенням фази зі структурою типу CaFe_2O_4 , у оксигено-октаедричній В-позиції якої одночасно розташовані атоми Nd та In. Лінійний характер залежності об'ємів елементарних комірок фаз $\text{SrNdSc}_{1-x}\text{In}_x\text{O}_4$ із ШПС від ступеня заміщення атомів Скандію (рис. 1,а) дозволяє розглядати їх як обмежену низку твердих розчинів.

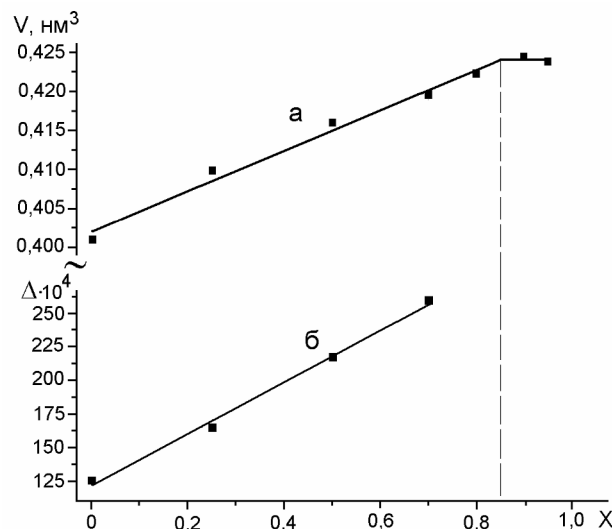


Рис. 1. Залежності об'ємів елементарних комірок фаз складу $\text{SrNdSc}_{1-x}\text{In}_x\text{O}_4$ (а) та ступеня деформації (Δ) поліедрів $(\text{SrNd})\text{O}_9$ в ШПС $\text{SrNdSc}_{1-x}\text{In}_x\text{O}_4$ (б) від ступеня заміщення атомів Скандію (значення x)

Для встановлення характеру впливу ізовалентного заміщення атомів Скандію на будову ШПС нами було здійснено визначення ШПС фаз $\text{SrNdSc}_{1-x}\text{In}_x\text{O}_4$ зі ступенями заміщення атомів скандію (x) рівними 0,25, 0,5 та 0,7.

Враховуючи ізоструктурну спорідненість ШПС $\text{SrNdSc}_{1-x}\text{In}_x\text{O}_4$ та SrLnInO_4 , первинну оцінку координатних параметрів атомів для початкових моделей ШПС фаз $\text{SrNdSc}_{1-x}\text{In}_x\text{O}_4$ здійснено за відомими структурними даними для інданту SrLaInO_4 (пр. гр. Pbca) [12]. Співставлення експериментальних і розрахованих для таких моделей структури інтенсивностей показало їх задовільну збіжність. Результати уточнення побудованих в пр. гр. Pbca моделей структури $\text{SrNdSc}_{1-x}\text{In}_x\text{O}_4$ наведені в табл. 1, 2 та на рис. 1,б. Уточнений при розрахунку структури склад цих фаз в межах похибки визначення відповідає експериментально заданому.

Основою ШПС фаз складу $\text{SrNdSc}_{1-x}\text{In}_x\text{O}_4$ є одношарові двовимірні (нескінченні в напрямках осей Y і Z) перовськітоподібні блоки зв'язаних вершинами октаедрів BO_6 ($\text{B}=\text{In}$, Sc) (рис. 2, а). Октаедри досить сильно деформовані (довжини відстаней $(\text{Sc}, \text{In})-\text{O}$ знаходяться в межах від 0,203(1) до 0,222(2) нм), сполучені між собою тільки вершинами, причому кожний з октаедрів має чотири спільні вершини з сусідніми октаедрами одного і того ж блоку. Безпосередній зв'язок між октаедрами сусідніх блоків відсутній. Перовськітоподібні блоки зсунуті один відносно одного на половину ребра перовськітового куба, розділені міжблочним шаром з поліедрів $(\text{Sr}, \text{Nd})\text{O}_9$ і утримуються за допомогою зв'язків $-\text{O}-(\text{Sr}, \text{Nd})-\text{O}-$.

В ШПС фаз $\text{SrNdSc}_{1-x}\text{In}_x\text{O}_4$ атоми Сtron-

цію та Неодиму статистично розподілені в позиції 8c на межі перовськітоподібного блоку. В поліедрі $(\text{Sr}, \text{Nd})\text{O}_9$ чотири атоми O1 та чотири атоми O2 належать тому ж перовськітоподібному блоку, що і атоми Sr та Nd, а дев'ятий атом Оксигену O2 є аксіальним атомом октаедру $(\text{Sc}, \text{In})\text{O}_6$ суміжного блоку (рис. 2, б). Довжина цього міжблочного зв'язку $(\text{Sr}, \text{Nd})-\text{O}2$ є однією з найкоротших в поліедрах $(\text{Sr}, \text{Nd})\text{O}_9$ ШПС $\text{SrNdSc}_{1-x}\text{In}_x\text{O}_4$ (табл. 2).

Аналіз одержаних нами структурних даних показав, що у ряду фаз загального складу $\text{SrNdSc}_{1-x}\text{In}_x\text{O}_4$ зі збільшенням ступеню заміщення атомів Скандію на Індій спостерігаються наступні зміни в будові їх ШПС:

— суттєво зростає ступень деформації міжблочних поліедрів $(\text{Sr}, \text{Nd})\text{O}_9$ (від $123 \cdot 10^{-4}$

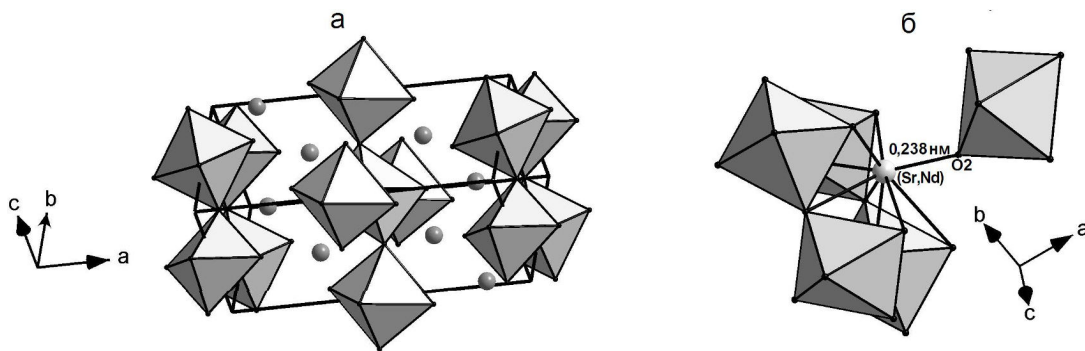


Рис. 2. Кристалічна структура $\text{SrNdSc}_{0.5}\text{In}_{0.5}\text{O}_4$ у вигляді октаедрів $(\text{Sc}, \text{In})\text{O}_6$ та атомів Sr i Nd (кружечки) (а) та будова міжблочної границі в ШПС $\text{SrNdSc}_{0.5}\text{In}_{0.5}\text{O}_4$ у вигляді октаедрів $(\text{Sc}, \text{In})\text{O}_6$ та атомів Sr, Nd (сірий кружечок) (б)

Структурні дані $\text{SrNdSc}_{1-x}\text{In}_x\text{O}_4$

Таблиця 1

Позиція	Атом	Заповнення	$\text{SrNdSc}_{0.75}\text{In}_{0.25}\text{O}_4$			$\text{SrNdSc}_{0.5}\text{In}_{0.5}\text{O}_4$			$\text{SrNdSc}_{0.3}\text{In}_{0.7}\text{O}_4$		
			X	Y	Z	X	Y	Z	X	Y	Z
8c	Sr	0,5	0,1455(2)	0,9850(3)	0,9898(3)	0,1466(2)	0,9856(2)	0,9710(2)	0,1471(2)	0,9869(3)	0,9633(2)
8c	Nd	0,5	0,1455(2)	0,98503	0,9898(3)	0,1466(2)	0,9856(2)	0,9710(2)	0,14712	0,9869(3)	0,9633(2)
4b	Sc	1-x	0,5	0	0	0,5	0	0	0,5	0	0
4b	In	x	0,5	0	0	0,5	0	0	0,5	0	0
8c	O1	1	0,024(1)	0,242(2)	0,248(2)	0,029(1)	0,225(2)	0,221(2)	0,036(2)	0,191(2)	0,210(2)
8c	O2	1	0,332(3)	0,047(1)	0,081(2)	0,330(3)	0,063(1)	0,065(2)	0,330(3)	0,068(2)	0,048(1)
Просторова група			Pbca (№ 61)			Pbca (№ 61)			Pbca (№ 61)		
Параметри кристалічної гратки, нм			a=1,2336(5) b=0,5779(2) c=0,5740(2)			a=1,2374(3) b=0,5796(2) c=0,5761(2)			a=1,2421(3) b=0,5814(1) c=0,5812(1)		
Незалежні відбиття			130			133			133		
Параметр текстури (вісь текстури 100)			—			0,690(7)			0,551(4)		
Загальний ізотропний В фактор (nm^2)			0,87(5)·10 ⁻²			0,68(4)·10 ⁻²			0,97(1)·10 ⁻²		
Фактор недостовірності			$R_w=0,059$			$R_w=0,048$			$R_w=0,052$		

Таблиця 2

Міжатомні відстані (d), кути зв'язків (\angle) і ступені деформації (Δ) поліедрів $(\text{Sr},\text{Nd})\text{O}_9$ і $(\text{In},\text{Sc})\text{O}_6$ в кристалічній структурі SrNdScO_4 і $\text{SrNdSc}_{1-x}\text{In}_x\text{O}_4$

SrNdScO_4 [8]		$\text{SrNdSc}_{0.75}\text{In}_{0.25}\text{O}_4$		$\text{SrNdSc}_{0.5}\text{In}_{0.5}\text{O}_4$		$\text{SrNdSc}_{0.3}\text{In}_{0.7}\text{O}_4$	
Атом–атом	d , нм	Атом–атом	d , нм	Атом–атом	d , нм	Атом–атом	d , нм
$(\text{Sr},\text{Nd})-\text{O}2$	0,226(1)*	$(\text{Sr},\text{Nd})-\text{O}2$	0,237(2)	$(\text{Sr},\text{Nd})-\text{O}2$	0,237(2)	$(\text{Sr},\text{Nd})-\text{O}1$	0,232(2)
$-\text{O}2$	0,242(2)	$-\text{O}2$	0,239(2)*	$-\text{O}2$	0,238(1)*	$-\text{O}2$	0,237(1)*
$-\text{O}1$	0,260(1)	$-\text{O}1$	0,258(1)	$-\text{O}1$	0,247(1)	$-\text{O}2$	0,245(1)
$-\text{O}1$	0,260(1)	$-\text{O}1$	0,258(1)	$-\text{O}2$	0,253(1)	$-\text{O}2$	0,250(2)
$-\text{O}1$	0,278(1)	$-\text{O}2$	0,260(2)	$-\text{O}1$	0,265(2)	$-\text{O}1$	0,269(2)
$-\text{O}1$	0,278(1)	$-\text{O}1$	0,282(2)	$-\text{O}1$	0,273(2)	$-\text{O}1$	0,275(2)
$-\text{O}2$	0,2890(2)	$-\text{O}1$	0,293(2)	$-\text{O}1$	0,319(2)	$-\text{O}1$	0,343(3)
$-\text{O}2$	0,2890(2)	$-\text{O}2$	0,330(2)	$-\text{O}2$	0,340(3)	$-\text{O}2$	0,343(2)
$-\text{O}2$	0,338(2)	$-\text{O}2$	0,341(3)	$-\text{O}2$	0,345(2)	$-\text{O}2$	0,343(3)
Середня відстань $(\text{Sr},\text{Nd})-\text{O}$	0,273	Середня відстань $(\text{Sr},\text{Nd})-\text{O}$	0,278	Середня відстань $(\text{Sr},\text{Nd})-\text{O}$	0,280	Середня відстань $(\text{Sr},\text{Nd})-\text{O}$	0,282
$\Delta(\text{Sr},\text{Nd})\text{O}_9$	$123 \cdot 10^{-4}$	$\Delta(\text{Sr},\text{Nd})\text{O}_9$	$162 \cdot 10^{-4}$	$\Delta(\text{Sr},\text{Nd})\text{O}_9$	$214 \cdot 10^{-4}$	$\Delta(\text{Sr},\text{Nd})\text{O}_9$	$256 \cdot 10^{-4}$
Атом–атом	d , нм	Атом–атом	d , нм	Атом–атом	d , нм	Атом–атом	d , нм
$\text{Sc}-\text{O}1$	0,2035(2)	$\text{In}-\text{O}1$	0,203(1)	$\text{In}-\text{O}1$	0,207(1)	$\text{In}-\text{O}1$	0,207(1)
$-\text{O}1$	0,2035(2)	$-\text{O}1$	0,203(1)	$-\text{O}1$	0,207(1)	$-\text{O}1$	0,207(1)
$-\text{O}1$	0,2035(2)	$-\text{O}1$	0,208(1)	$-\text{O}1$	0,210(2)	$-\text{O}2$	0,217(2)
$-\text{O}1$	0,2035(2)	$-\text{O}1$	0,208(1)	$-\text{O}1$	0,210(2)	$-\text{O}2$	0,217(2)
$-\text{O}2$	0,2186(1)	$-\text{O}2$	0,214(2)	$-\text{O}2$	0,217(2)	$-\text{O}1$	0,222(2)
$-\text{O}2$	0,2186(1)	$-\text{O}2$	0,214(2)	$-\text{O}2$	0,217(2)	$-\text{O}1$	0,222(2)
Середня відстань $\text{Sc}-\text{O}$	0,208	Середня відстань $(\text{Sc},\text{In})-\text{O}$	0,208	Середня відстань $(\text{Sc},\text{In})-\text{O}$	0,211	Середня відстань $(\text{Sc},\text{In})-\text{O}$	0,215
ΔScO_6	$12 \cdot 10^{-4}$	$\Delta(\text{Sc},\text{In})\text{O}_6$	$5 \cdot 10^{-4}$	$\Delta(\text{Sc},\text{In})\text{O}_6$	$4 \cdot 10^{-4}$	$\Delta(\text{Sc},\text{In})\text{O}_6$	$8 \cdot 10^{-4}$
$\angle\text{Sc}-\text{O}1-\text{Sc}$	$167(1)^0$	$\angle(\text{Sc},\text{In})-\text{O}1-(\text{Sc},\text{In})$	$163(1)^0$	$\angle(\text{Sc},\text{In})-\text{O}1-(\text{Sc},\text{In})$	$157(1)^0$	$\angle(\text{Sc},\text{In})-\text{O}1-(\text{Sc},\text{In})$	$147(1)^0$

Примітки: розрахунок ступеня деформації октаедрів MeO_n виконано за формулою: $\Delta = 1/n \sum [(R_i - \bar{R})/\bar{R}]^2$ (R_i – відстань $\text{Me}-\text{O}$, \bar{R} – середня відстань $\text{Me}-\text{O}$, n – координаційне число) [15]; * – міжблочна відстань.

($x=0$) до $256 \cdot 10^{-4}$ ($x=0,7$) (рис. 1,б);

– збільшується довжина міжблочного зв'язку $(\text{Sr},\text{Nd})-\text{O}2$ (від 0,226(1) нм ($x=0$) до 0,238(1) нм ($x=0,3-0,7$)) (рис. 3,а);

– зменшується величина кута зв'язків $(\text{Sc},\text{In})-\text{O}1-(\text{Sc},\text{In})$ (від $167(1)^0$ ($x=0$) до $147(1)^0$ ($x=0,7$)), що свідчить про збільшення нахилу сусідніх октаедрів $(\text{Sc},\text{In})\text{O}_6$ один до одного

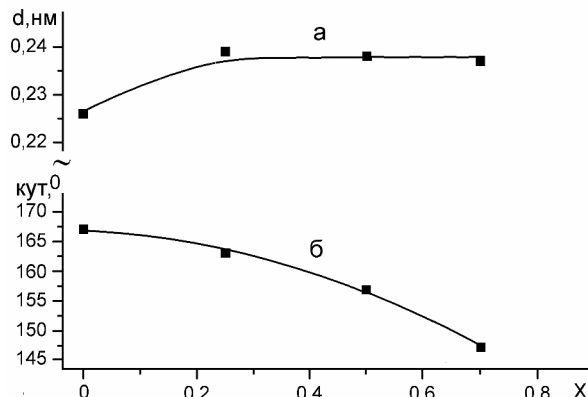


Рис. 3. Залежності довжини міжблочного зв'язку $(\text{Sr},\text{Nd})-\text{O}2$ (а) та величини кута зв'язків $(\text{Sc},\text{In})-\text{O}1-(\text{Sc},\text{In})$ (б) в ШПС $\text{SrNdSc}_{1-x}\text{In}_x\text{O}_4$ від ступеня заміщення атомів Скандію (значення x)

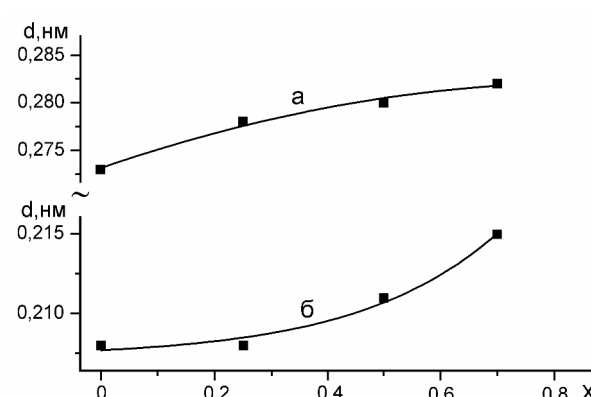


Рис. 4. Залежності середньої довжини зв'язку $(\text{Sr},\text{Nd})-\text{O}$ в поліедрах $(\text{Sr},\text{Nd})\text{O}_9$ (а) та середньої довжини зв'язку $(\text{Sc},\text{In})-\text{O}$ в октаедрах $(\text{Sc},\text{In})\text{O}_6$ (б) ШПС $\text{SrNdSc}_{1-x}\text{In}_x\text{O}_4$ від ступеня заміщення атомів скандію (значення x)

(рис. 3,б);

– зростає середня відстань $(\text{Sr},\text{Nd})-\text{O}$ в поліедрах $(\text{Sr},\text{Nd})\text{O}_9$ (від 0,273 нм ($x=0$) до 0,282 нм ($x=0,7$)) (рис. 4,а);

– збільшується середня довжина зв'язку $(\text{Sc},\text{In})-\text{O}$ в октаедрах $(\text{Sc},\text{In})\text{O}_6$ (від 0,208 нм ($x=0$) до 0,215 нм ($x=0,7$)) (рис. 4,б).

Збільшення ступеня деформації міжблочних поліедрів $(\text{Sr},\text{Nd})\text{O}_9$ та нахилу сусідніх октаедрів $(\text{Sc},\text{In})\text{O}_6$ один до одного призводить до зростання напруженості в міжблочному просторі ШПС, а збільшення міжблочної відстані $(\text{Sr},\text{Nd})-\text{O}2$ зменшує міцність зв'язування блоків між собою. Такі структурні змін в будові ШПС фаз $\text{SrNdSc}_{1-x}\text{In}_x\text{O}_4$ сприяють її дестабілізації і дають підстави для висновку, що саме ці фактори обумовлюють обмеженість діапазону твердих розчинів $\text{SrNdSc}_{1-x}\text{In}_x\text{O}_4$ ($0 \leq x \leq 0,85$) з ШПС та пояснюють відсутність SrNdInO_4 з ШПС.

Слід відзначити, що структурні зміни при заміщенні атомів у В-позиції одношарової ШПС фаз $\text{SrNdSc}_{1-x}\text{In}_x\text{O}_4$ значно суттєвіші, ніж при заміщенні атомів А-позиції у одношарових ШПС фаз складу $\text{SrLa}_{1-x}\text{Nd}_x\text{InO}_4$ [11] та $\text{Sr}_{1-x}\text{Ca}_x\text{LaInO}_4$ [10]. Зокрема, якщо для $\text{Sr}_{1-x}\text{Ca}_x\text{LaInO}_4$ та $\text{SrLa}_{1-x}\text{Nd}_x\text{InO}_4$ основними структурними чинниками, які сприяють дестабілізації ШПС є, відповідно, збільшення D ($\text{Sr},\text{Ca},\text{La})\text{O}_9$ або міжблочної відстані $-\text{O}-(\text{Sr},\text{La},\text{Nd})-\text{O}-$, то у випадку $\text{SrNdSc}_{1-x}\text{In}_x\text{O}_4$ одночасно діють обидва ці фактори, а також відбувається збільшення взаємного нахилу октаедрів $(\text{Sc},\text{In})\text{O}_6$ в первовськітоподібному блоці. Ймовірною причиною такої відмінності є, очевидно, як особливості хімічного зв'язку, обумовлені різноміністю атомів Скандинію (d-елемент) і Індію (p-елемент), так і розміри катіона In^{3+} , які є найбільш можливими для відомих сполук A^{II}LnB^{III}O₄ з ШПС.

Висновки

Таким чином, в даній роботі встановлена область існування та природа фаз $\text{SrNdSc}_{1-x}\text{In}_x\text{O}_4$ з ШПС і визначена будова ШПС фаз $\text{SrNdSc}_{1-x}\text{In}_x\text{O}_4$ зі ступенями заміщення атомів Скандинію (x) рівними 0,25, 0,5 та 0,7. Аналіз особливостей структури фаз $\text{SrNdSc}_{1-x}\text{In}_x\text{O}_4$ показав, що такий тип ізовалентного заміщення атомів Скандинію в скандаті SrNdScO_4 призводить до збільшення деформованості ШПС фаз $\text{SrNdSc}_{1-x}\text{In}_x\text{O}_4$, що може бути використано для подальшого контролюваного регулювання їх функціональних (електрофізичних, оптических та інших) структурно залежних властивостей шляхом ізовалентного заміщення атомів В-позиції ШПС.

СПИСОК ЛІТЕРАТУРИ

1. Александров К.С., Безносиков Б.В. Перовскиты. Настоящее и будущее. – Новосибирск: Изд-во СО РАН, 2004. – 231 с.
2. Synthesis and oxide ion conductivity of new layered perovskite $\text{La}_{1-x}\text{Sr}_{1+x}\text{InO}_{4-d}$ / S. Kato, M. Ogasawara, M. Sugai, S. Nakata // Solid State Ionics. – 2002. – Vol.149. – No. 1–2. – P.53-57.
3. Crystal structure and luminescence of layered perovskites $\text{Sr}_3\text{LnInSnO}_8$ / Titov Yu., Nedilko S.G., Chornii V., Scherbatskii V., Belyavina N., Markiv V., Polubinskii V. // Solid State Phenomena. – 2015. – Vol.230. – P.67-72.
4. Kim I.S., Nakamura T., Itoh M. Humidity sensing effects of the layered oxides $\text{SrO}(\text{LaScO}_3)_n$ ($n=1,2,\infty$) // Journal of the Ceramic Society of Japan. – 1993. – Vol.101. – No. 7. – P.800-803.
5. Yang H.M., Shi J.X., Gong M.L. A new luminescent material, $\text{Sr}_2\text{SnO}_4:\text{Eu}^{3+}$ // Journal of Alloys and Compounds. – 2006. – Vol.415. – No. 1–2. – P.213-215.
6. A generic method of visible light sensitization for perovskite-related layered oxides: substitution effect of lead / Kim H.G., Becker O.S., Jang J.S., Ji S.M., Borse P.H., Lee J.S. // Journal of Solid State Chemistry. – 2006. – Vol.179. – P.1214-1218.
7. Prado F., Manthiram A. Synthesis, crystal chemistry, and electrical and magnetic properties of $\text{Sr}_3\text{Fe}_{2-x}\text{Co}_x\text{O}_{7-\delta}$ ($0 \leq x \leq 0.8$) // Journal of Solid State Chemistry. – 2001. – Vol.158. – No. 2. – P.307-314.
8. Patel R., Simon C., Weller M.T. LnSrScO_4 ($\text{Ln}=\text{La}, \text{Ce}, \text{Pr}, \text{Nd}$ and Sm) systems and structure correlations for A_2BO_4 (K_2NiF_4) structure types // Journal of Solid State Chemistry. – 2007. – Vol.180. – P.349-359.
9. Crystal structure determination and ionic conductivity of layered perovskite compounds NaLnTiO_4 ($\text{Ln}=\text{rare earth}$) / K. Toda, Y. Kameo, S. Kurita, M. Sato // Journal of Alloys and Compounds. – 1996. – Vol.234. – P.19-25.
10. Вплив складу на будову шаруватої первовськітоподібної структури індатів $\text{A}^{\text{II}}\text{LaInO}_4$ / Тітов Ю.О., Білявина Н.М., Слободянік М.С., Бабарік А.А., Тимошенко М.В. // Доповіді Національної Академії Наук України. – 2017. – № 4. – С.70-75.
11. Вплив заміщення атомів лантану на будову шаруватої структури індатів $\text{SrLa}_{1-x}\text{Nd}_x\text{InO}_4$ / Тітов Ю.О., Білявина Н.М., Слободянік М.С., Чумак В.В., Наконечна О.І. // Вопр. хімии и хим. технології. – 2019. – № 1. – С.67-72.
12. Синтез і кристалічна структура BaLaInO_4 та SrLnInO_4 ($\text{Ln}=\text{La}, \text{Pr}$) / Тітов Ю.О., Білявина Н.М., Марків В.Я., Слободянік М.С., Краєвська Я.А. // Доповіді Національної Академії Наук України. – 2009. – № 10. – С.160-166.
13. Синтез та кристалічна структура SrEuScO_4 / Тітов Ю.О., Білявина Н.М., Марків В.Я., Слободянік М.С., Краєвська Я.А., Ящук В.П. // Доповіді Національної Академії Наук України. – 2010. – № 10. – С.160-166.

демії Найк України. – 2009. – № 4. – С.158-163.

14. Phase transformations at mechanical milling of the equiatomic Y–Cu powder mixture / M. Dashevskyi, O. Boshko, O. Nakonechna, N. Belyavina // Металлофізика і новітні технології. – 2017. – Vol.39. – No. 4. – P.541-552.

15. Shannon R.D. Revised effective ionic radii and systematic studies of interatomic distances in halides and chalcogenides // Acta Crystallographica. – 1976. – Vol.A32. – P.751-767.

Надійшла до редакції 12.02.2019

EFFECT OF COMPOSITION ON THE $\text{SrNdSc}_{1-x}\text{In}_x\text{O}_4$ SLAB STRUCTURE

Y.A. Titov ^{a,*}, N.M. Belyavina ^a, M.S. Slobodyanik ^a, V.V. Chumak ^b, O.I. Nakonechna ^a

^a Taras Shevchenko National University of Kyiv, Kyiv, Ukraine

^b Zhytomyr Ivan Franko State University, Zhytomyr, Ukraine

* e-mail: tit@univ.kiev.ua

By using X-ray powder diffraction method, it was determined that scandium atoms in SrNdScO_4 slab perovskite-like structure are substituted according to $\text{SrNdSc}_{1-x}\text{In}_x\text{O}_4$ type if $0 \leq x \leq 0.85$. A further increase in a degree of substitution of scandium atoms for indium ones in the single-slab $\text{SrNdSc}_{1-x}\text{In}_x\text{O}_4$ scandatoindates ($x > 0.85$) results in destruction of a slab structure and formation of a second phase with CaFe_2O_4 structure type, which quantitative content increases up to ca. 100% at $x=1$. Orthorhombic crystal structure (Pbca space group) of $\text{SrNdSc}_{1-x}\text{In}_x\text{O}_4$ phases with a substitution degree of scandium atoms equal to 0.25, 0.5 and 0.7 was determined by the Rietveld procedure. The base of $\text{SrNdSc}_{1-x}\text{In}_x\text{O}_4$ slab perovskite-like structure consists of two-dimensional perovskite-like blocks of one slab of distorted InO_6 octahedra joined by vertices. There are no direct (Sc, In)– O –(Sc, In) bonds between the octahedra of adjacent blocks. There is a layer of $(\text{Sr}, \text{Nd})\text{O}_9$ polyhedra between adjacent blocks, while the $-\text{O}2-(\text{Sr}, \text{Nd})-\text{O}2$ interblock bonds provide a junction of the perovskite-like blocks. Comparison of structure features of SrNdScO_4 scandate and $\text{SrNdSc}_{1-x}\text{In}_x\text{O}_4$ phases showed that the isovalent substitution of the scandium atoms for bigger indium atoms in the single-slab $\text{SrNdSc}_{1-x}\text{In}_x\text{O}_4$ structure leads to a consistent increase in the deformation degree of $(\text{Sr}, \text{Nd})\text{O}_9$ interblock polyhedra, the average (Sc, In)– O distance in $(\text{Sc}, \text{In})\text{O}_6$ octahedra and their inclination to each other, as well as to a significant increase in the length of the $(\text{Sr}, \text{Nd})-\text{O}2$ interblock bond (from 0.226(1) nm at $x=0$ to 0.238(1) nm at $x=0.3-0.7$). An increase in the distance between the perovskite-like blocks weakens their bonding strength, while an increase in the deformation degree of $(\text{Sr}, \text{Nd})\text{O}_9$ interblock polyhedra and the inclination of $(\text{Sc}, \text{In})\text{O}_6$ adjacent octahedra increases the structure tension. The total effect of these factors leads to the destabilization and destruction of the slab perovskite-like structure and causes both the limited range of $\text{SrNdSc}_{1-x}\text{In}_x\text{O}_4$ solid solutions with a slab perovskite-like structure ($0 \leq x \leq 0.85$) and makes impossible the formation and existence of SrNdInO_4 indate with this structure type.

Keywords: compounds of $\text{A}_{n+1}\text{B}_n\text{O}_{3n+1}$ type; slab perovskite-like structure; X-ray powder diffraction; isomorphism; solid solutions.

REFERENCES

- Alexandrov K.C., Beznosikov B.V., *Perovskity. Nastoyashcheye i budushcheye* [Perovskites: present and future]. SO RAN Publishers, Novosibirsk, 2004. 231 p. (in Russian).
- Kato S., Ogashawara M., Sugai M., Nakata S. Synthesis and oxide ion conductivity of new layered perovskite $\text{La}_{1-x}\text{Sr}_{1+x}\text{InO}_{4-d}$. *Solid State Ionics*, 2002, vol. 149, pp. 53-57.
- Titov Yu., Nedilko S.G., Chornii V., Scherbatskii V., Belyavina N., Markiv V., Polubinskii V. Crystal structure and luminescence of layered perovskites $\text{Sr}_3\text{LnInSnO}_8$. *Solid State Phenomena*, 2015, vol. 230, pp. 67-72.
- Kim I.-S., Nakamura T., Itoh M. Humidity sensing effects of the layered oxides $\text{SrO}(\text{LaScO}_3)_n$ ($n=1,2,\infty$). *Journal of the Ceramic Society of Japan*, 1993, vol. 101, pp. 800-803.
- Yang H.M., Shi J.X., Gong M.L. A new luminescent material, $\text{Sr}_2\text{SnO}_4:\text{Eu}^{3+}$. *Journal of Alloys and Compounds*, 2006, vol. 415, pp. 213-215.
- Kim H.G., Becker O.S., Jang J.S., Ji S.M., Borse P.H., Lee J.S. A generic method of visible light sensitization for perovskite-related layered oxides: substitution effect of lead. *Journal of Solid State Chemistry*, 2006, vol. 179, pp. 1214-1218.
- Prado F., Manthiram A. Synthesis, crystal chemistry, and electrical and magnetic properties of $\text{Sr}_3\text{Fe}_{2-x}\text{Co}_x\text{O}_{7-\delta}$ ($0 \leq x \leq 0.8$). *Journal of Solid State Chemistry*, 2001, vol. 158, pp. 307-314.
- Patel R., Simon C., Weller M.T. LnSrScO_4 ($\text{Ln}=\text{La}, \text{Ce}, \text{Pr}, \text{Nd}$ and Sm) systems and structure correlations for A_2BO_4 (K_2NiF_4) structure types. *Journal of Solid State Chemistry*, 2007, vol. 180, pp. 349-359.
- Toda K., Kameo Y., Kurita S., Sato M. Crystal structure determination and ionic conductivity of layered perovskite compounds NaLnTiO_4 ($\text{Ln}=\text{rare earth}$). *Journal of Alloys and Compounds*, 1996, vol. 234, pp. 19-25.
- Titov Y.O., Belyavina N.M., Slobodyanik M.S., Babaryk A.A., Timoschenko M.V. Vplyv skladu na budovu sharuvatоi perovskitopodobnoi struktury indativ $\text{A}^{\text{II}}\text{LaInO}_4$ [Influence of composition on organization of layered perovskite-like structure of indates $\text{A}^{\text{II}}\text{LaInO}_4$]. *Dopovidи Natsionalnoi Akademii Nauk Ukrayny*, 2017, no. 4, pp. 70-75. (in Ukrainian).
- Titov Y.A., Belyavina N.M., Slobodyanik M.S., Chumak V.V., Nakonechna O.I. Vplyv zamishchenn'ya atomiv lantanu na budovu sharuvatоi struktury indativ $\text{SrLa}_{1-x}\text{Nd}_x\text{InO}_4$ [Effect of isovalent substitution of lanthanum atoms on the slab structure of indates $\text{SrLa}_{1-x}\text{Nd}_x\text{InO}_4$]. *Voprosy Khimii i Khimicheskoi Tekhnologii*, 2019, no. 1, pp. 67-72. (in Ukrainian).
- Titov Y.O., Belyavina N.M., Markiv V.Ya., Slobodyanik M.S., Kravetska Ya.A. Syntez i krystalichna struktura BaLaInO_4 i SrLnInO_4 ($\text{Ln}=\text{La}, \text{Pr}$) [Synthesis and crystal structure of BaLaInO_4 and SrLnInO_4 ($\text{Ln}=\text{La}, \text{Pr}$)]. *Dopovidи Natsionalnoi Akademii Nauk Ukrayny*, 2009, no. 10, pp. 160-166. (in Ukrainian).
- Titov Y.O., Belyavina N.M., Markiv V.Ya., Slobodyanik M.S., Kravetska Ya.A., Yashchuk V.P. Syntez i krystalichna struktura SrEuScO_4 [Synthesis and crystal structure of SrEuScO_4]. *Dopovidи Natsionalnoi Akademii Nauk Ukrayny*, 2009, no. 4, pp. 158-163. (in Ukrainian).
- Dashevskyi M., Boshko O., Nakonechna O., Belyavina N. Phase transformations in equiatomic Y–Cu powder mixture at mechanical milling. *Metallofizika i Noveishie Tekhnologii*, 2017, vol. 39, no. 4, pp. 541-552.
- Shannon R.D. Revised effective ionic radii and systematic studies of interatomic distances in halides and chalcogenides. *Acta Crystallographica Section A*, 1976, vol. 32, pp. 751-767.